

A Matemática da Tomografia Computadorizada

Elias S. Helou Neto

24 de outubro de 2019

Introdução

Métodos Analíticos

Métodos Iterativos

Microtomografia por Iluminação Síncrotron

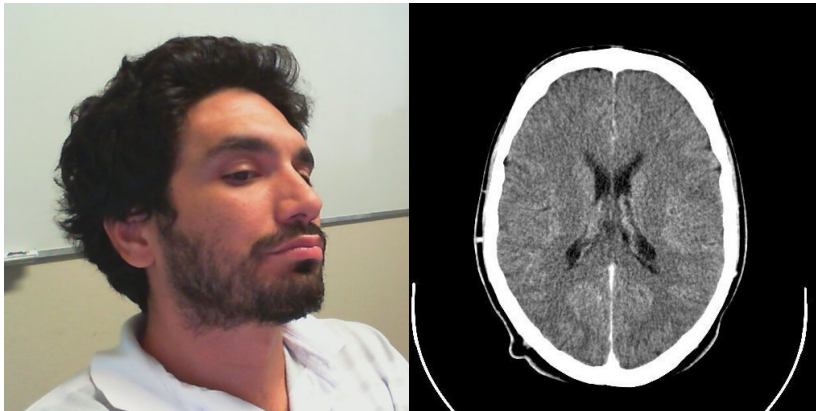
Tomografia

Palavra “tomografia” formada por duas palavras gregas: “desenho de uma fatia”



Tomografia

Palavra “tomografia” formada por duas palavras gregas: “desenho de uma fatia”



Aplicações

- ▶ Medicina
- ▶ Ciências de materiais
- ▶ Biologia
- ▶ Astrofísica
- ▶ Geociências
- ▶ Oceanografia
- ▶ etc.

Modalidades Tomográficas

- ▶ Tomografia não difrativa (sinal é partícula – linha reta)
 - ▶ Por transmissão: raios-x, prótons, nêutrons, múon, neutrino, elétrons
 - ▶ Por emissão: pósitron e raios gama
 - ▶ Tomografia por fluorescência (transmissão e emissão)
- ▶ Tomografia difrativa (sinal é onda – curvas)
 - ▶ {Impedância, resistividade, capacitância} elétrica
 - ▶ Ultrassonografia
 - ▶ Tomografia termo-acústica

Existem outras modalidades, e.g., ressonância magnética.

Transmissão de Raios-X

Atenuação de Raios-X

$$\frac{I_e}{I_d} = e^{\int_L f(x) ds}$$

- ▶ I_e : Intensidade emitida
- ▶ I_d : Intensidade detectada
- ▶ L : Segmento de reta ligando detector a emissor
- ▶ f : Taxa de atenuação linear: valores desconhecidos

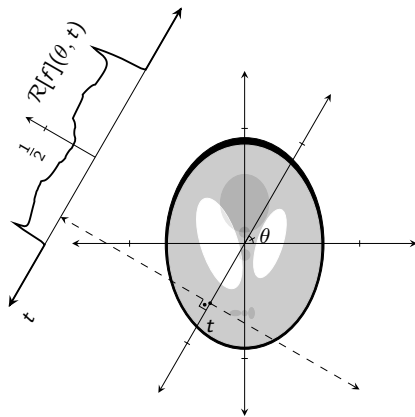
Conhecemos $\int_L f(x) dx$ para diversos segmentos L .
Mas desejamos obter f .

Tomografia por Transmissão



Reconstrução de Imagens Através de Projeções

Transformada de Radon



$$\mathcal{R}[f](\theta, t) := \int_{\mathbb{R}} f \left(t \begin{pmatrix} \cos \theta \\ \sin \theta \end{pmatrix} + s \begin{pmatrix} -\sin \theta \\ \cos \theta \end{pmatrix} \right) ds$$

A Transformada de Fourier

Definição e Inversa

Dada uma função $f : \mathbb{R}^n \rightarrow \mathbb{C}$, definimos

$$\mathcal{F}[f](\omega) := \int_{\mathbb{R}^n} f(\mathbf{x}) e^{-i\mathbf{x} \cdot \omega} d\mathbf{x}$$

cuja inversa é dada por:

$$\mathcal{F}^{-1}[g](\mathbf{x}) := \frac{1}{(2\pi)^n} \int_{\mathbb{R}^n} g(\omega) e^{i\omega \cdot \mathbf{x}} d\omega.$$

O Teorema da Fatia de Fourier

Seja $p_\theta(t) := \mathcal{R}[f](\theta, t)$. Então:

$$\mathcal{F}[p_\theta](\omega) = \mathcal{F}[f] \left(\omega \begin{pmatrix} \cos \theta \\ \sin \theta \end{pmatrix} \right).$$

Ou seja, é possível obter a imagem no espaço de Fourier através de dados de Radon.

Retroprojeção Filtrada

A fórmula de inversão de Fourier

$$f(\mathbf{x}) = \frac{1}{(2\pi)^n} \int_{\mathbb{R}^n} \mathcal{F}[f](\boldsymbol{\omega}) e^{i\boldsymbol{\omega} \cdot \mathbf{x}} d\boldsymbol{\omega}$$

em duas dimensões pode ser reescrita como:

$$f(\mathbf{x}) = \frac{1}{(2\pi)^2} \int_{[0, \pi]} \int_{\mathbb{R}} |\omega| \mathcal{F}[f] \left(\omega \begin{pmatrix} \cos \theta \\ \sin \theta \end{pmatrix} \right) e^{i\omega(x_1 \cos \theta + x_2 \sin \theta)} d\omega d\theta.$$

Retroprojeção Filtrada

A fórmula de inversão de Fourier

$$f(\mathbf{x}) = \frac{1}{(2\pi)^n} \int_{\mathbb{R}^n} \mathcal{F}[f](\boldsymbol{\omega}) e^{i\boldsymbol{\omega} \cdot \mathbf{x}} d\boldsymbol{\omega}$$

em duas dimensões pode ser reescrita como:

$$f(\mathbf{x}) = \frac{1}{2\pi} \int_{[0, \pi]} \frac{1}{2\pi} \int_{\mathbb{R}} |\omega| \mathcal{F}[p_\theta](\omega) e^{i\omega(x_1 \cos \theta + x_2 \sin \theta)} d\omega d\theta.$$

Retroprojeção Filtrada

A fórmula de inversão de Fourier

$$f(\mathbf{x}) = \frac{1}{(2\pi)^n} \int_{\mathbb{R}^n} \mathcal{F}[f](\omega) e^{i\omega \cdot \mathbf{x}} d\omega$$

em duas dimensões pode ser reescrita como:

$$f(\mathbf{x}) = \frac{1}{2\pi} \int_{[0, \pi]} \frac{1}{2\pi} \int_{\mathbb{R}} |\omega| \mathcal{F}[p_\theta](\omega) e^{i\omega(x_1 \cos \theta + x_2 \sin \theta)} d\omega d\theta.$$

Filtragem

Retroprojeção Filtrada

A fórmula de inversão de Fourier

$$f(\mathbf{x}) = \frac{1}{(2\pi)^n} \int_{\mathbb{R}^n} \mathcal{F}[f](\omega) e^{i\omega \cdot \mathbf{x}} d\omega$$

em duas dimensões pode ser reescrita como:

$$f(\mathbf{x}) = \frac{1}{2\pi} \int_{[0, \pi]} \frac{1}{2\pi} \int_{\mathbb{R}} |\omega| \mathcal{F}[p_\theta](\omega) e^{i\omega(x_1 \cos \theta + x_2 \sin \theta)} d\omega d\theta.$$

Retroprojeção

Por que Iterar?

- ▶ Modelo físico mais preciso
 - ▶ Policromaticidade
 - ▶ "Beam hardening"
 - ▶ Espalhamento
 - ▶ Modelagem do detector
 - ▶ Modelagem da emissão radiativa
 - ▶ etc.
- ▶ Geometrias não padrão
 - ▶ Ângulo limitado
 - ▶ Amostragem angular esparsa
 - ▶ Amostragem angular irregular
 - ▶ Dados faltantes (pixeis queimados)
 - ▶ Tomografia interior
 - ▶ etc.

Mais: não-negatividade, esparsidade (em alguma base), suavidade por partes, etc.

Por que Não Iterar?

- ▶ Tempo de computação elevado
- ▶ É preciso reconstruir todo o objeto
- ▶ Algoritmos não-lineares (difícil analisar/prever o desempenho)
- ▶ Ajuste de parâmetros algorítmicos

Otimização

Problema Não Linear

$$\begin{aligned} \min \quad & f(\mathbf{x}) \\ \text{s. a:} \quad & g_i(\mathbf{x}) \leq 0, \quad i \in \{1, 2, \dots, r\}. \end{aligned}$$

- ▶ $f : \mathbb{R}^n \rightarrow \mathbb{R}$ — Função objetivo
- ▶ $g_i(\mathbf{x}) \leq 0$, com $g_1 : \mathbb{R}^n \rightarrow \mathbb{R}$ — Restrições

Solução Global

Definição

$$\begin{array}{ll} \min & f(\mathbf{x}) \\ \text{s. a:} & \mathbf{x} \in \mathbb{X}. \end{array}$$

Dizemos que \mathbf{x}^* é minimizador global se $\forall \mathbf{x} \in \mathbb{X}$ temos $f(\mathbf{x}) \geq f(\mathbf{x}^*)$.

Solução Local

Definição

$$\begin{array}{ll} \min & f(\mathbf{x}) \\ \text{s. a:} & \mathbf{x} \in \mathbb{X}. \end{array}$$

Dizemos que \mathbf{x}^* é minimizador local se $\exists \epsilon > 0$ tal que $\forall \mathbf{x} \in \mathbb{X} \cap \{\mathbf{x} : \|\mathbf{x} - \mathbf{x}^*\| \leq \epsilon\}$ temos $f(\mathbf{x}) \geq f(\mathbf{x}^*)$.

Transformada de Radon

Linearidade

$$\mathcal{R}[\alpha f + \beta g] = \alpha \mathcal{R}[f] + \beta \mathcal{R}[g]$$

Assumindo $f = \sum_{j=1}^n x_j f_j$, então o problema torna-se:

$$R\mathbf{x} \approx \mathbf{b},$$

onde $r_{ij} = \mathcal{R}[f_j](\theta_i, t_i)$ e $b_i = \mathcal{R}[f](\theta_i, t_i)$.

Otimização em Tomografia

Quadrados Mínimos

$$\min \quad \|R\mathbf{x} - \mathbf{b}\|^2$$

$$\text{s. a: } x_j \geq 0 \quad j \in \{1, 2, \dots, n\}.$$

Otimização em Tomografia

Quadrados Mínimos em Dois Níveis

$$\begin{aligned} \min \quad & TV(\mathbf{x}) \\ \text{s. a: } \quad & \mathbf{x} \in \min_{\mathbf{y} \in \mathbb{R}_+^n} \|R\mathbf{y} - \mathbf{b}\|^2 \end{aligned}$$

onde

$$TV(\mathbf{x}) := \sum_{i=1}^{\sqrt{n}} \sum_{j=1}^{\sqrt{n}} \sqrt{(x_{i,j} - x_{i,j-1})^2 + (x_{i,j} - x_{i-1,j})^2}.$$

Laboratório Nacional de Luz Síncrotron – LNLS

Anel



Imagem: <http://exame.abril.com.br/revista-exame/edicoes/104402/noticias/o-brasil-que-inova>

Laboratório Nacional de Luz Síncrotron – LNLS

Anel

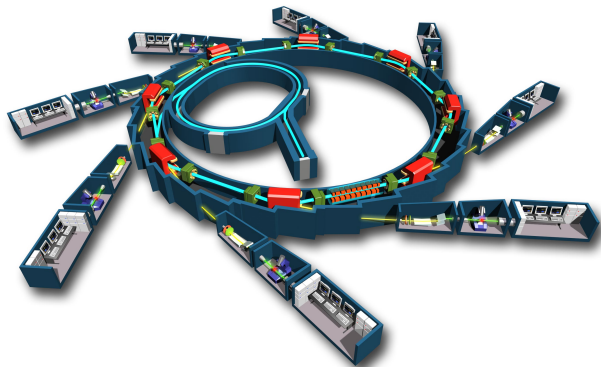
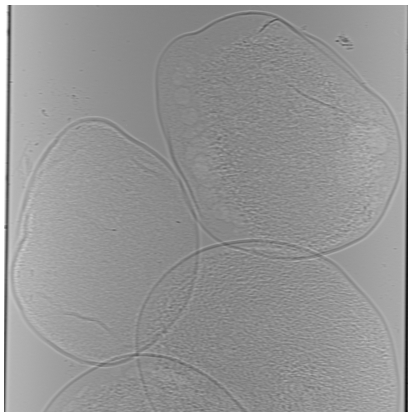


Imagem: <https://luizmullerpt.wordpress.com/2014/09/14/>

Exemplo

Ovos de peixe em água, tubo capilar de borossilicato

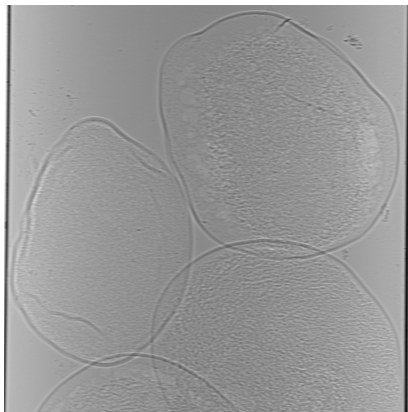
- ▶ Tempo de exposição por radiografia: 20 segundos
- ▶ Número de radiografias: 200
- ▶ Tamanho do campo de visão: $0.76 \times 0.76\text{mm}^2$
- ▶ Resolução: 2048×2048 pixels



Exemplo

Ovos de peixe em água, tubo capilar de borossilicato

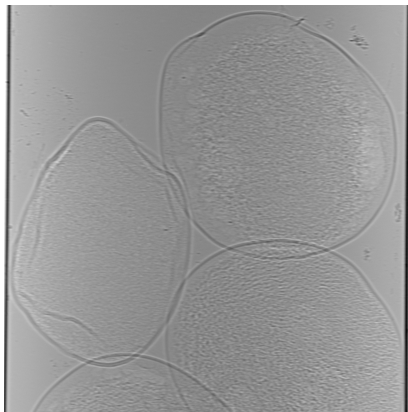
- ▶ Tempo de exposição por radiografia: 20 segundos
- ▶ Número de radiografias: 200
- ▶ Tamanho do campo de visão: $0.76 \times 0.76\text{mm}^2$
- ▶ Resolução: 2048×2048 pixels



Exemplo

Ovos de peixe em água, tubo capilar de borossilicato

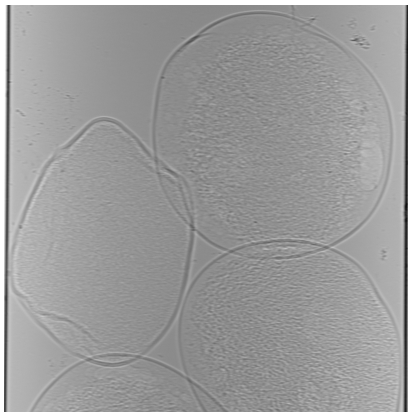
- ▶ Tempo de exposição por radiografia: 20 segundos
- ▶ Número de radiografias: 200
- ▶ Tamanho do campo de visão: $0.76 \times 0.76\text{mm}^2$
- ▶ Resolução: 2048×2048 pixels



Exemplo

Ovos de peixe em água, tubo capilar de borossilicato

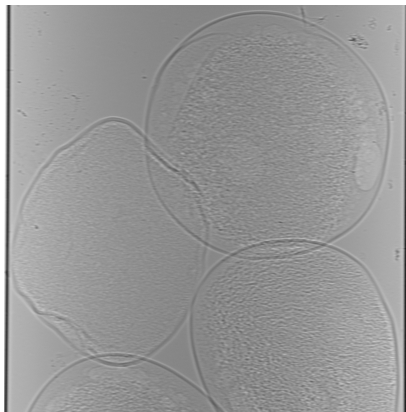
- ▶ Tempo de exposição por radiografia: 20 segundos
- ▶ Número de radiografias: 200
- ▶ Tamanho do campo de visão: $0.76 \times 0.76\text{mm}^2$
- ▶ Resolução: 2048×2048 pixels



Exemplo

Ovos de peixe em água, tubo capilar de borossilicato

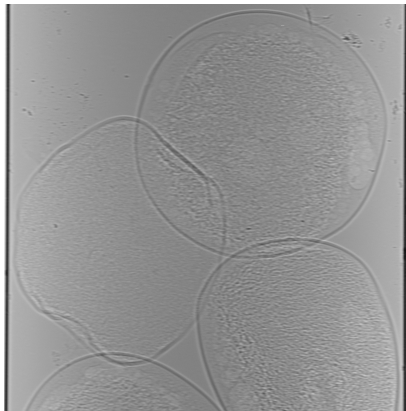
- ▶ Tempo de exposição por radiografia: 20 segundos
- ▶ Número de radiografias: 200
- ▶ Tamanho do campo de visão: $0.76 \times 0.76\text{mm}^2$
- ▶ Resolução: 2048×2048 pixels



Exemplo

Ovos de peixe em água, tubo capilar de borossilicato

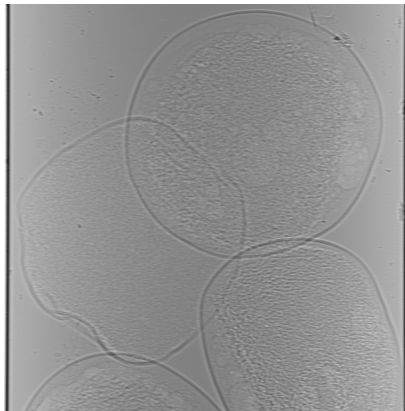
- ▶ Tempo de exposição por radiografia: 20 segundos
- ▶ Número de radiografias: 200
- ▶ Tamanho do campo de visão: $0.76 \times 0.76\text{mm}^2$
- ▶ Resolução: 2048×2048 pixels



Exemplo

Ovos de peixe em água, tubo capilar de borossilicato

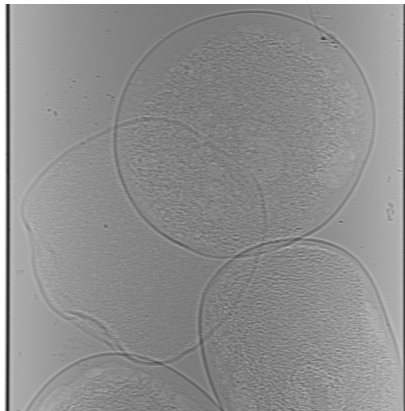
- ▶ Tempo de exposição por radiografia: 20 segundos
- ▶ Número de radiografias: 200
- ▶ Tamanho do campo de visão: $0.76 \times 0.76\text{mm}^2$
- ▶ Resolução: 2048×2048 pixels



Exemplo

Ovos de peixe em água, tubo capilar de borossilicato

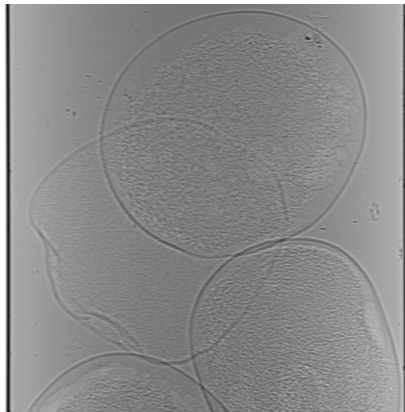
- ▶ Tempo de exposição por radiografia: 20 segundos
- ▶ Número de radiografias: 200
- ▶ Tamanho do campo de visão: $0.76 \times 0.76\text{mm}^2$
- ▶ Resolução: 2048×2048 pixels



Exemplo

Ovos de peixe em água, tubo capilar de borossilicato

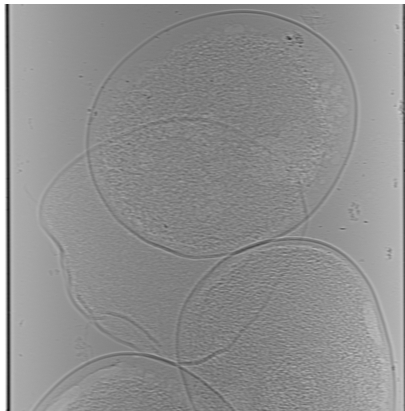
- ▶ Tempo de exposição por radiografia: 20 segundos
- ▶ Número de radiografias: 200
- ▶ Tamanho do campo de visão: $0.76 \times 0.76\text{mm}^2$
- ▶ Resolução: 2048×2048 pixels



Exemplo

Ovos de peixe em água, tubo capilar de borossilicato

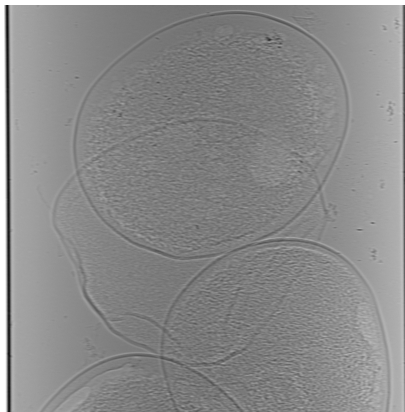
- ▶ Tempo de exposição por radiografia: 20 segundos
- ▶ Número de radiografias: 200
- ▶ Tamanho do campo de visão: $0.76 \times 0.76\text{mm}^2$
- ▶ Resolução: 2048×2048 pixels



Exemplo

Ovos de peixe em água, tubo capilar de borossilicato

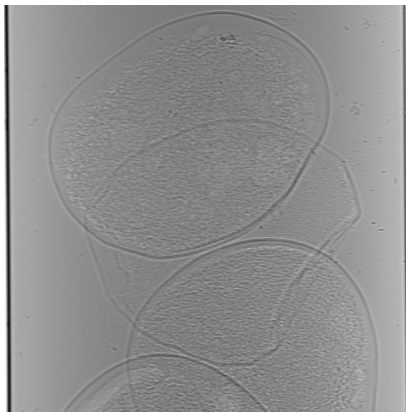
- ▶ Tempo de exposição por radiografia: 20 segundos
- ▶ Número de radiografias: 200
- ▶ Tamanho do campo de visão: $0.76 \times 0.76 \text{mm}^2$
- ▶ Resolução: 2048×2048 pixels



Exemplo

Ovos de peixe em água, tubo capilar de borossilicato

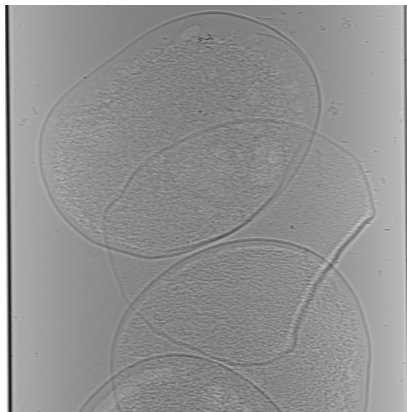
- ▶ Tempo de exposição por radiografia: 20 segundos
- ▶ Número de radiografias: 200
- ▶ Tamanho do campo de visão: $0.76 \times 0.76\text{mm}^2$
- ▶ Resolução: 2048×2048 pixels



Exemplo

Ovos de peixe em água, tubo capilar de borossilicato

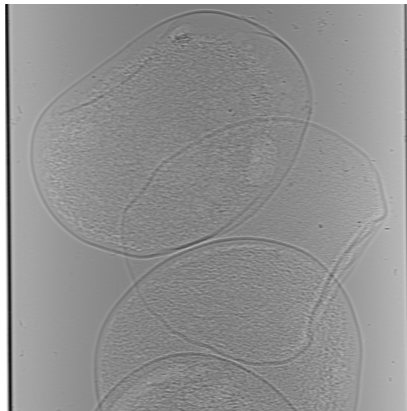
- ▶ Tempo de exposição por radiografia: 20 segundos
- ▶ Número de radiografias: 200
- ▶ Tamanho do campo de visão: $0.76 \times 0.76\text{mm}^2$
- ▶ Resolução: 2048×2048 pixels



Exemplo

Ovos de peixe em água, tubo capilar de borossilicato

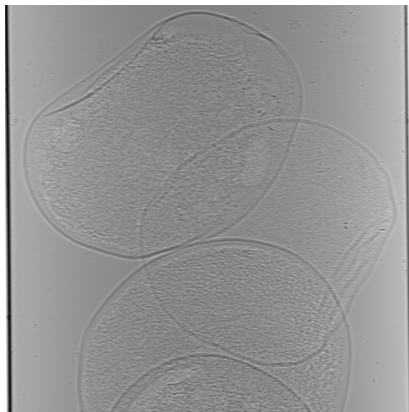
- ▶ Tempo de exposição por radiografia: 20 segundos
- ▶ Número de radiografias: 200
- ▶ Tamanho do campo de visão: $0.76 \times 0.76\text{mm}^2$
- ▶ Resolução: 2048×2048 pixels



Exemplo

Ovos de peixe em água, tubo capilar de borossilicato

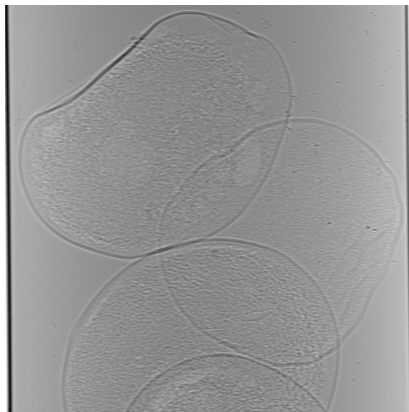
- ▶ Tempo de exposição por radiografia: 20 segundos
- ▶ Número de radiografias: 200
- ▶ Tamanho do campo de visão: $0.76 \times 0.76\text{mm}^2$
- ▶ Resolução: 2048×2048 pixels



Exemplo

Ovos de peixe em água, tubo capilar de borossilicato

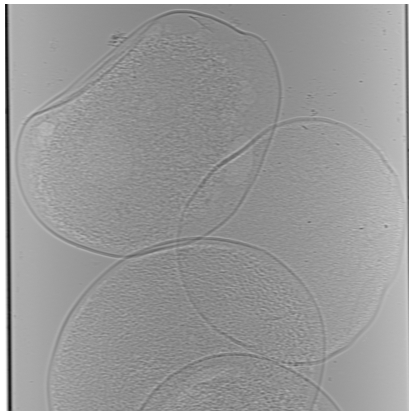
- ▶ Tempo de exposição por radiografia: 20 segundos
- ▶ Número de radiografias: 200
- ▶ Tamanho do campo de visão: $0.76 \times 0.76\text{mm}^2$
- ▶ Resolução: 2048×2048 pixels



Exemplo

Ovos de peixe em água, tubo capilar de borossilicato

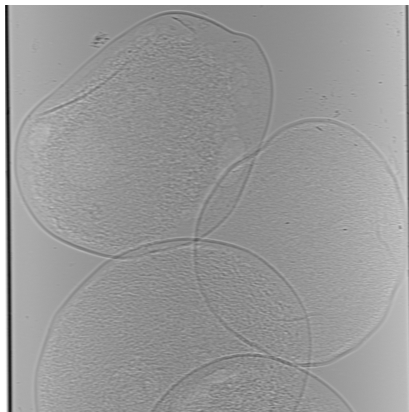
- ▶ Tempo de exposição por radiografia: 20 segundos
- ▶ Número de radiografias: 200
- ▶ Tamanho do campo de visão: $0.76 \times 0.76\text{mm}^2$
- ▶ Resolução: 2048×2048 pixels



Exemplo

Ovos de peixe em água, tubo capilar de borossilicato

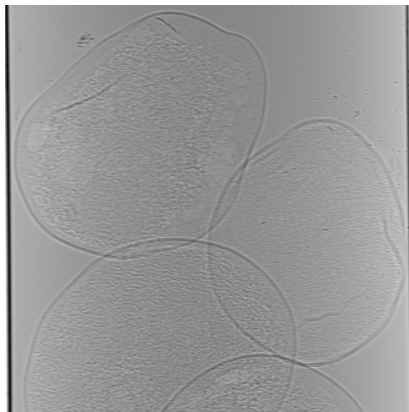
- ▶ Tempo de exposição por radiografia: 20 segundos
- ▶ Número de radiografias: 200
- ▶ Tamanho do campo de visão: $0.76 \times 0.76\text{mm}^2$
- ▶ Resolução: 2048×2048 pixels



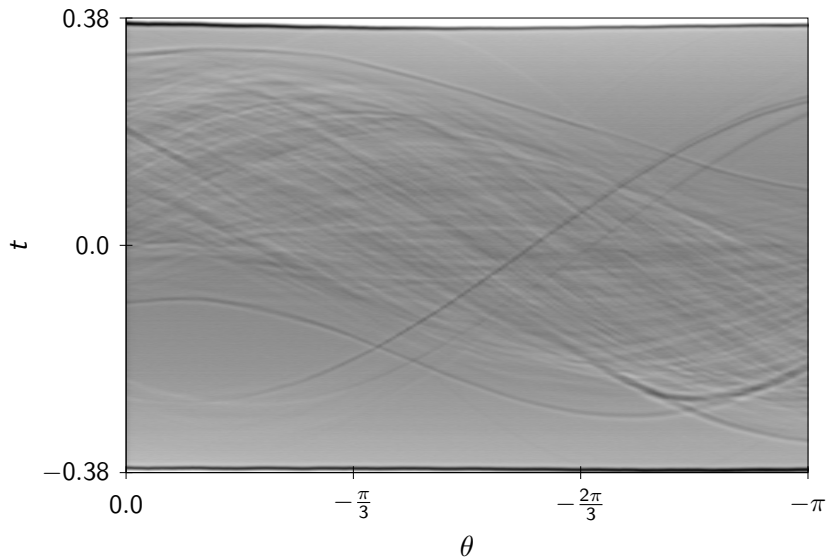
Exemplo

Ovos de peixe em água, tubo capilar de borossilicato

- ▶ Tempo de exposição por radiografia: 20 segundos
- ▶ Número de radiografias: 200
- ▶ Tamanho do campo de visão: $0.76 \times 0.76\text{mm}^2$
- ▶ Resolução: 2048×2048 pixels



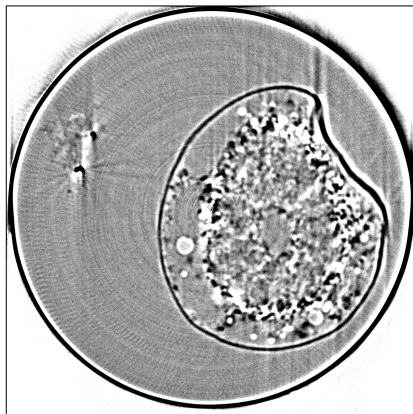
Datos Tomográficos



Reconstruções

Modelo de Quadrados Mínimos

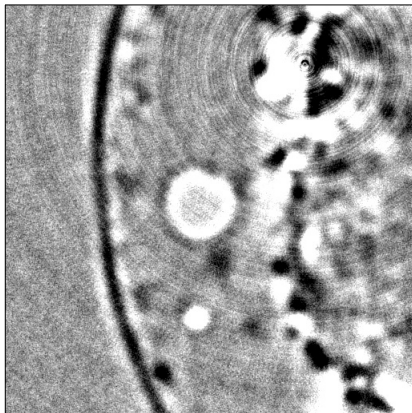
$$\min_{\mathbf{x} \in \mathbb{R}_+^n} \|\mathbf{R}\mathbf{x} - \mathbf{b}\|^2$$



Reconstruções

Modelo de Quadrados Mínimos

$$\min_{\mathbf{x} \in \mathbb{R}_+^n} \|\mathbf{R}\mathbf{x} - \mathbf{b}\|^2$$

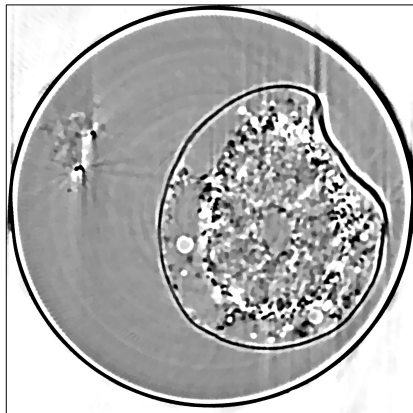


Reconstruções

Modelo de Quadrados Mínimos em dois níveis

$$\min TV(\mathbf{x})$$

$$\text{s. a: } \mathbf{x} \in \min_{\mathbf{y} \in \mathbb{R}_+^n} \|R\mathbf{y} - \mathbf{b}\|^2$$

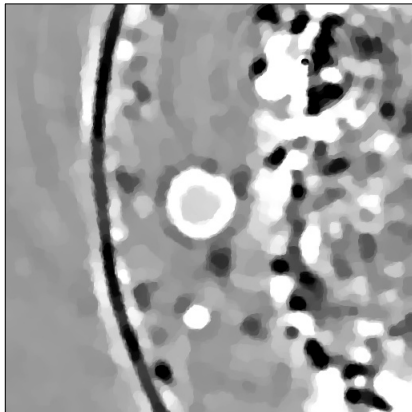


Reconstruções

Modelo de Quadrados Mínimos em dois níveis

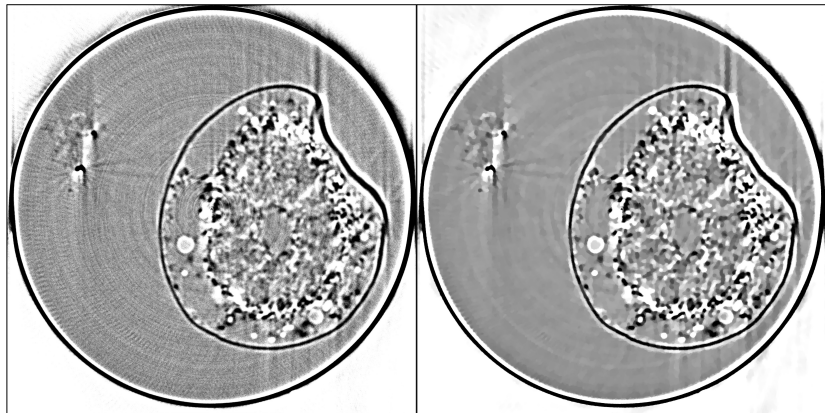
$$\min TV(\mathbf{x})$$

$$\text{s. a: } \mathbf{x} \in \min_{\mathbf{y} \in \mathbb{R}_+^n} \|R\mathbf{y} - \mathbf{b}\|^2$$



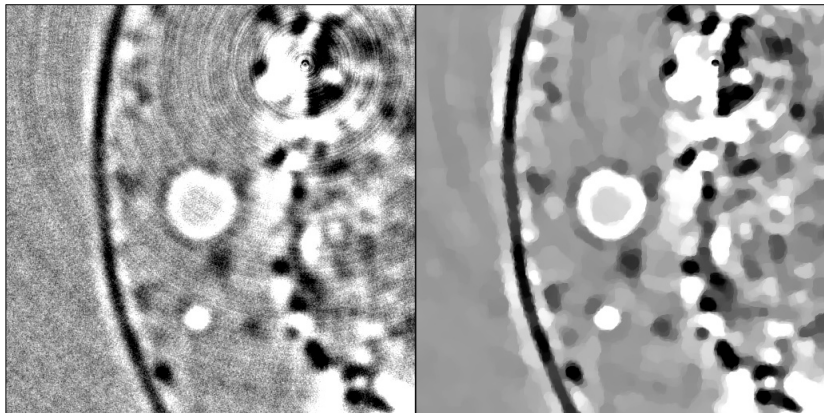
Reconstruções

Não-regularizado × Regularizado



Reconstruções

Não-regularizado × Regularizado



Conclusões

- ▶ A tomografia permite ver dentro de coisas legais
- ▶ Dentro da tomografia tem coisas legais pra serem vistas

Obrigado!